

УДК 519.85

**Эвристический адаптивный быстрый градиентный метод в задачах стохастической оптимизации<sup>1)</sup>**

© 2019 г. А. В. Огальцов\*, А. И. Тюрин\*

(\*101000 Москва, ул. Мясницкая, 20, НИУ ВШЭ;)

e-mail: atyurin@hse.ru

Поступила в редакцию: \*\*.\*\*.\*\*\*\* г.

В данной работе приводится эвристический стохастический адаптивный ускоренный градиентный метод. Мы показываем, что на практике предложенный алгоритм имеет высокую скорость сходимости по сравнению с популярными сейчас методами оптимизации. Кроме того, мы приводим обоснование нашего метода и описываем трудности, которые не позволяют на данный момент получить оптимальные оценки для предложенного алгоритма.

**Ключевые слова:** быстрый градиентный метод, стохастическая оптимизация, адаптивная оптимизация.

## 1. Введение

В данной работе представлен эвристический алгоритм стохастической оптимизации, который является обобщением быстрого градиентного метода [1]. Методы стохастической оптимизации в последнее время являются популярными по той причине, что они позволяют уменьшать сложность подсчета градиента, что является очень важным, так как существуют примеры функций, в которых невозможно за разумное время подсчитать градиент оптимизируемой функции хотя бы в одной точке [2], [3]. Помимо этого, в задачах стохастической оптимизации [4] в силу формулировки самой задачи единственный разумный способ получить направление спуска — это сэмлирование векторов, которые имеют несмещенные по отношению к истинному градиенту направления. Данный подход также популярен в глубинном обучении [3], в задачах, которые имеют вид суммы функций [4]. Стоит отметить, что сложность подсчета стохастического градиента, как правило, можно регулировать.

Задача по поиску адаптивного быстрого градиентного метода с стохастическим градиентом по-прежнему является актуальной. На сколько нам известно данная проблема является не решенной. Отметим, что в данном направлении активно идет работа. В работе [5] предложили метод, который одновременно хорошо работает на гладких и негладких задачах, однако, данный метод не является ускоренным, шаг метода выбирается таким образом, что он не возрастает, в то время, как в нашем методе шаг метода подбирается адаптивно, может возрастать и убывать. В работе [6] предложили объединить стохастический неускоренный градиентный метод и правило Армихо [7], в результате авторы доказали, что их метод имеет скорость сходимости неускоренного градиентного метода, но это им удалось, используя специальные предположения о оптимизационной задаче.

К сожалению, нам пока так и не удалось получить теоретические оценки для предложенного метода. В данной работе приведены эксперименты (см. раздел 4), которые показывают, что в задачах машинного обучения с логистической регрессией, нейронной

<sup>1)</sup>Работа А.И. Тюрина поддержана грантом РФФИ 19-31-90062 Аспиранты.

сеть и сверточной нейронной сетью предложенный алгоритм имеет более быструю скорость сходимости, чем Adagrad [8] и Adam [9]. Кроме того, в разделе 3 мы приводим некоторое обоснование нашего алгоритма и объясняем некоторые детали, которые нам не позволяют до конца доказать сходимость метода в оптимальной форме.

## 2. Адаптивный быстрый стохастический градиентный метод

Опишем сначала общую постановку задачи выпуклой оптимизации [1]. Пусть определена функция  $f(x) : Q \rightarrow \mathbb{R}$  и дана произвольная норма  $\|\cdot\|$  в  $\mathbb{R}^n$ . Сопряженная норма определяется следующим образом:

$$\|\lambda\|_* \stackrel{\text{def}}{=} \max_{\|\nu\| \leq 1; \nu \in \mathbb{R}^n} \langle \lambda, \nu \rangle, \quad \forall \lambda \in \mathbb{R}^n.$$

Будем полагать, что

1.  $Q \subseteq \mathbb{R}^n$ , выпуклое, замкнутое.
2.  $f(x)$  – непрерывная, гладкая и выпуклая функции на  $Q$ .
3.  $f(x)$  ограничена снизу на  $Q$  и достигает своего минимума в некоторой точке (необязательно единственной)  $x_* \in Q$ .

Рассмотрим следующую задачу оптимизации:

$$f(x) \rightarrow \min_{x \in Q}.$$

Введем два понятия: прокс-функция и дивергенция Брэгмана [10].

**Определение 1.**  $d(x) : Q \rightarrow \mathbb{R}$  называется прокс-функцией, если  $d(x)$  непрерывно дифференцируемая на  $\text{int } Q$  и  $d(x)$  является 1-сильно выпуклой относительно нормы  $\|\cdot\|$  на  $\text{int } Q$ .

**Определение 2.** Дивергенцией Брэгмана называется

$$V(x, y) \stackrel{\text{def}}{=} d(x) - d(y) - \langle \nabla d(y), x - y \rangle,$$

где  $d(x)$  – произвольная прокс-функция.

**Определение 3.** Стохастическим  $(\delta, L)$ -оракулом будем называть оракул, который на запрашиваемую точку  $y \in Q$  дает пару  $(f_\delta(y), \nabla f_\delta(y; \xi))$  такую, что

$$0 \leq f(x) - f_\delta(y) - \langle \nabla f_\delta(y), x - y \rangle \leq \frac{L}{2} \|x - y\|^2 + \delta, \quad \forall x \in Q,$$

$$\mathbb{E} [\nabla f_\delta(y; \xi)] = \nabla f_\delta(y), \quad \forall y \in Q,$$

$$\mathbb{E} \left[ \exp \left( \frac{\|\nabla f_\delta(y; \xi) - \nabla f_\delta(y)\|_*^2}{\sigma^2} \right) \right] \leq \exp(1), \quad \forall y \in Q,$$

где  $\sigma^2 > 0$  и  $\xi$  – произвольная случайная величина.

Отметим, что концепция стохастического  $(\delta, L)$ -оракула основана на концепции  $(\delta, L)$ -оракула [11], [12], [13].

**Замечание 1.** В определении 3 можно дополнительно потребовать случайность не только градиента, но и самой функции, то есть, чтобы стохастический  $(\delta, L)$ -оракул возвращал вместо неслучайного  $f_\delta(y)$  значения функции некоторое случайное значение  $f_\delta(y; \xi)$ .

Определим константу  $R_Q$  такую, что

$$R_Q \geq \max_{x, y \in Q} \|x - y\|.$$

Будем считать, что  $R_Q < \infty$ .

В методе, который мы предложим далее, будем оценивать истинный градиент на каждом шаге с помощью некоторого количества  $\nabla f_\delta(y; \xi_j)$ ,  $j \in [1 \dots m_{k+1}]$ , используя технику mini-batch (см, например, [14]).

Обозначим

$$\tilde{\nabla}^{m_{k+1}} f_\delta(y) \stackrel{\text{def}}{=} \frac{1}{m_{k+1}} \sum_{j=1}^{m_{k+1}} \nabla f_\delta(y; \xi_j). \quad (1)$$

Пусть  $\kappa$  – константа регулярности из [15] для  $(\mathbb{R}^n, \|\cdot\|_*)$ . Для некоторых простых случаев верно следующее: если  $\|\cdot\|_* = \|\cdot\|_2$ , то  $\kappa = 1$ . Более того, если  $\|\cdot\|_* = \|\cdot\|_q$ ,  $q \in [2, \infty]$ , то  $\kappa = \min[q - 1, 2 \ln(n)]$ . Сделаем следующее обозначение:  $\tilde{\Omega} \stackrel{\text{def}}{=} 2\kappa + 4\Omega\sqrt{\kappa} + 2\Omega^2$ .

Далее будет использоваться в алгоритме константу  $L_0 \geq 0$ , которая имеет смысл предположительной “локальной”, константы Липшица градиента в точке  $x_0$ . Рассмотрим адаптивный зеркальный вариант метода подобных треугольников со стохастическим  $(\delta, L)$ -оракулом:

### Алгоритм 1 (Теоретический вариант).

**Дано:**  $x_0$  – начальная точка,  $\epsilon$  – желаемая точность решения,  $\delta, L$  – константы из  $(\delta, L)$ -оракула,  $\beta$  – доверительный уровень,  $L_0$  ( $L_0 \leq L$ ),  $\sigma^2$  – константа из определения 3.

**Алгоритм:** Возьмем

$$N := \left\lceil \frac{2\sqrt{3}\sqrt{LRQ}}{\sqrt{\epsilon}} \right\rceil, \quad \Omega := \sqrt{6 \ln \frac{N}{\beta}}.$$

**0 - шаг:**

$$y_0 := x_0, u_0 := x_0, \alpha_0 := 0, A_0 := \alpha_0.$$

**$k + 1$  - шаг:**

$$j_{k+1} := 0.$$

**Пока не выполнится неравенство**

$$\begin{aligned} f_\delta(x_{k+1}) &\leq f_\delta(y_{k+1}) + \langle \tilde{\nabla}^{m_{k+1}} f_\delta(y_{k+1}), x_{k+1} - y_{k+1} \rangle + \\ &+ \frac{L_{k+1}}{2} \|x_{k+1} - y_{k+1}\|^2 + \frac{3\sigma^2\tilde{\Omega}}{L_{k+1}m_{k+1}} + \delta \end{aligned} \quad (2)$$

**повторять:**

$$L_{k+1} := 2^{j_{k+1}-1}L_k, \quad \alpha_{k+1} := \frac{1 + \sqrt{1 + 4A_k L_{k+1}}}{2L_{k+1}}, \quad A_{k+1} := A_k + \alpha_{k+1},$$

$$y_{k+1} := \frac{\alpha_{k+1}u_k + A_k x_k}{A_{k+1}}, \quad m_{k+1} := \left\lceil \frac{3\sigma^2 \tilde{\Omega} \alpha_{k+1}}{\epsilon} \right\rceil.$$

Сгенерировать i.i.d.  $\xi_j$  ( $j = 1, \dots, m_{k+1}$ ) и посчитать  $\tilde{\nabla}^{m_{k+1}} f_\delta(y_{k+1})$ .

$$\phi_{k+1}(x) \stackrel{\text{def}}{=} V(x, u_k) + \alpha_{k+1} \left( f_\delta(y_{k+1}) + \langle \tilde{\nabla}^{m_{k+1}} f_\delta(y_{k+1}), x - y_{k+1} \rangle \right)$$

$$u_{k+1} := \arg \min_{x \in Q} \phi_{k+1}(x), \quad x_{k+1} := \frac{\alpha_{k+1}u_{k+1} + A_k x_k}{A_{k+1}}, \quad j_{k+1} := j_{k+1} + 1.$$

**Конец алгоритма.**

**Гипотеза 1.** Пусть  $x_*$  — ближайшая точка минимума к точке  $x_0$  в смысле дивергенции Брэгмана, точность  $\delta = \mathcal{O}(\epsilon^{\frac{3}{2}})$ . Тогда для предложенного алгоритма с вероятностью  $1 - \mathcal{O}(\beta)$  выполнено равенство:

$$f(x_N) - f(x_*) = \mathcal{O}(\epsilon).$$

### 3. Обоснование алгоритма

Приведем обоснование данного алгоритма. Предложенный алгоритм базируется на следующих градиентных методах [13, 16, 17]. Для **адаптивного** быстрого градиентного метода с  $(\delta, L)$ -оракулом можно получить следующие оценки сходимости [13, 16, 17]:

$$f(x_N) - f(x_*) \leq \mathcal{O} \left( \frac{LR_Q^2}{N^2} + N\delta \right).$$

В то время, как для **стохастического** быстрого градиентного метода с  $(\delta, L)$ -оракулом можно получить оценки вида [13]:

$$f(x_N) - f(x_*) \leq \mathcal{O} \left( \frac{LR_Q^2}{N^2} + \frac{\sigma R_Q}{\sqrt{N}} \right).$$

Соответственно, ожидаемая оценка для **адаптивного стохастического** быстрого градиентного метода с  $(\delta, L)$ -оракулом должна иметь вид:

$$f(x_N) - f(x_*) \leq \mathcal{O} \left( \frac{LR_Q^2}{N^2} + N\delta + \frac{\sigma R_Q}{\sqrt{N}} \right).$$

Основная проблема по доказательству Гипотезы 1, которая возникает в данный момент, связана с проблемой “выборки с отклонением” [18]. В доказательствах методов оптимизации с стохастическим градиентом (см. (1)) ключевым образом используется тот факт, что стохастический градиент имеет несмещенное математическое ожидание по отношению к настоящему градиенту. В алгоритме из раздела 2 это не так. Стоит обратить внимание, что наш метод является адаптивным и настраивается на локальную

гладкость, делая проверку (2). Получается, что во внутреннем цикле, когда мы подбираем шаг метода, мы сначала генерируем mini-batch, а затем mini-batch проверяем на то, подходит ли он в неравенстве (2). Таким образом, мы неявно делаем процедуру “выборки с отклонением” [18] и соответственно возникает смещение сгенерированного стохастического градиента.

Стоит отметить, что возникали различные попытки перестроения алгоритма, но нам так и не удалось решить проблему “выборки с отклонением”.

В алгоритме 1 из раздела 2, в процедуре подбора параметра  $L_{k+1}$ , мы каждый раз генерируем мини-батч. Возможный способ решения проблемы “выборки с отклонением” — это генерировать мини-батч один раз до процедуры подбора параметра  $L_{k+1}$  (см. алгоритм 2 из раздела 4). К сожалению, данный способ описания алгоритма приводит к другой проблеме. По аналогии с [13] в процессе доказательства возникает выражение вида:

$$\sum_{k=0}^{N-1} \alpha_{k+1} \langle \tilde{\nabla}^{m_{k+1}} f_{\delta}(y_{k+1}) - \nabla f_{\delta}(y_{k+1}), x - u_k \rangle.$$

Основной задачей является найти некоторые хорошие оценки сверху на данную сумму. В работе [13] данные оценки получены и доказано, что с “большой вероятностью” верно следующее неравенство:

$$\sum_{k=0}^{N-1} \alpha_{k+1} \langle \tilde{\nabla}^{m_{k+1}} f_{\delta}(y_{k+1}) - \nabla f_{\delta}(y_{k+1}), x - u_k \rangle \leq \mathcal{O} \left( \frac{\sigma R_Q}{\sqrt{N}} \right).$$

Для доказательства данного неравенства использовались неравенства типа Азума–Хефдинга ([19], [13], Лемма 7.11) и тот факт, что  $\alpha_{k+1}$  являются неслучайными и условное математическое ожидание мини-батча равно настоящему градиенту. Для случая, когда мы один раз фиксируем мини-батч возникает проблема с тем, что  $\alpha_{k+1}$  получаются случайные и скоррелированные с мини-батчем, поэтому стандартные неравенства типа Азума–Хефдинга ([13], Лемма 7.11) нам применить не удастся.

В следующем разделе мы проводим численные эксперименты на различных задачах оптимизации. Мы показываем, что на практике практический вариант предложенного алгоритма (см. алгоритм 2 из раздела 4) работает лучше, чем популярные алгоритмы Adagrad [8] и Adam [9].

## 4. Численные эксперименты

Начнем с описания отличия теоретического варианта (алгоритм 1) и практического варианта (алгоритм 2):

1. На практике мы не всегда можем знать константу  $L$  и более того константа  $R_Q$  может быть не ограничена, поэтому заранее точно определить  $N$  из алгоритма 1 мы не можем, поэтому на практике будем предполагать, что  $\tilde{\Omega} = 1$ .
2. В практическом варианте константу  $m_{k+1}$  мы оцениваем, используя  $L_k$ , а не константу  $L_{k+1}$ . Это позволяет нам эффективнее делать подбор параметра  $L_{k+1}$  за счет того, что количество  $m_{k+1}$  слагаемых при подсчете mini-batch не меняется.
3. Для многих классов оптимизируемых функций, которые включают в себя логистическую регрессию, нейронные сети и сверточные нейронные сети, сложность подсчета функции имеет тот же порядок сложности, что и подсчет градиента [20]. Соответственно, значение функции так же оценивается, используя технику mini-batch (см. замечание 1):

$$f_{\delta}^{m_{k+1}}(y) \stackrel{\text{def}}{=} \frac{1}{m_{k+1}} \sum_{j=1}^{m_{k+1}} \nabla f_{\delta}(y; \xi_j).$$

Теоретические рассуждения предыдущих глав статьи приводят к практической версии алгоритма 2. Было проведено три серии экспериментов. Оптимизация всех функций происходила относительно евклидовой нормы  $\|\cdot\|_2$  с  $V(x, y) = \frac{1}{2} \|x - y\|_2^2$ , множество  $Q = \mathbb{R}^n$ . Начальные параметры алгоритма 2 для всех экспериментов оставались одинаковыми: верхняя оценка дисперсии градиента  $\sigma_0^2 = 0.1$ , точность  $\epsilon = 0.002$ , константа  $L_0 = 1$ . В экспериментах использовались следующие наборы данных:

1. MNIST [21], состоящий из изображений рукописных цифр размера  $28 \times 28$  пикселей.
2. CIFAR [22], состоящий из цветных изображений размера  $3 \times 32 \times 32$  пикселей, каждое из которых принадлежит к одному из 10 классов.

В первых двух сериях экспериментов использовался набор данных MNIST. Эксперименты заключаются в обучении логистической регрессии (линейный классификатор с выпуклой функцией потерь) и двухслойной нейронной сети с размером скрытых слоёв 1000 (нелинейный классификатор с невыпуклой функцией потерь). В случае логистической регрессии количество оптимизируемых параметров равнялось 7850, а в случае двухслойной нейронной сети уже 795010. Оптимизация проводилась при помощи предложенного алгоритма, а также при помощи наиболее распространённых на сегодняшний день адаптивных алгоритмов Adam [9] и AdaGrad [8]. Для Adagrad и Adam использовались стандартные параметры: размер батча 128,  $lr = 0.001$ . Сравнение проводилось по скорости изменения функции потерь от итерации обучения и по изменению точности классификации на тестовой выборке. Результаты сравнения для логистической регрессии находятся на рис. 1a, 1b, а для нейронной сети на рис. 1c, 1d. В обоих случаях предложенный метод превосходит упомянутые выше, как по скорости сходимости функции ошибки, так и по достигнутой точности.

В третьей серии экспериментов небольшая свёрточная нейронная сеть обучалась предсказанию класса картинки на наборе данных CIFAR. Использовалась следующая архитектура свёрточной нейросети:

1. По матрице изображения ( $3 \times 32 \times 32$ ) проходим окном свёртки размера  $3 \times 6 \times 5$ . Веса свёртки являются настраиваемыми параметрами.
2. После свёртки по полученному изображению проходит так называемый MaxPooling — это окно размера  $2 \times 2$ , которое оставляет максимальный попавший в него элемент, а остальные зануляет.
3. Далее снова проходим по результату предыдущего шага окном свёртки размера  $6 \times 16 \times 5$ .
4. Далее идут три последовательных полносвязных слоя с убывающим размером: 400, 120, 84.

Общее число параметров данной нейросети — 62000. В этой серии экспериментов результаты работы предложенного метода также сравнивались с Adagrad и Adam (рис. 1e, 1f). Алгоритм 2 также показал лучшие результаты.

### Алгоритм 2 (Практический вариант).

**Дано:**  $x_0$  — начальная точка, константы  $\epsilon > 0$ ,  $L_0 > 0$  и  $\sigma_0^2 > 0$ .

**Алгоритм:**

**0 - шаг:**

$$y_0 := x_0, u_0 := x_0, \alpha_0 := 0, A_0 := \alpha_0.$$

**$k + 1$  - шаг:**

$$\tilde{\alpha}_{k+1} = \frac{1 + \sqrt{1 + 4A_k L_k}}{2L_k}, \quad m_{k+1} := \left\lceil \frac{3\sigma_0^2 \tilde{\alpha}_{k+1}}{\epsilon} \right\rceil, \quad j_{k+1} := 0,$$

сгенерировать i.i.d.  $\xi_j$  ( $j = 1, \dots, m_{k+1}$ ).

**Пока не выполнится неравенство**

$$\begin{aligned} f_\delta^{m_{k+1}}(x_{k+1}) \leq f_\delta^{m_{k+1}}(y_{k+1}) + \langle \tilde{\nabla}^{m_{k+1}} f_\delta(y_{k+1}), x_{k+1} - y_{k+1} \rangle + \\ + \frac{L_{k+1}}{2} \|x_{k+1} - y_{k+1}\|^2 + \frac{\epsilon}{L_{k+1} \alpha_{k+1}} \end{aligned} \quad (3)$$

**повторять:**

$$L_{k+1} := 2^{j_{k+1}-1} L_k, \quad \alpha_{k+1} := \frac{1 + \sqrt{1 + 4A_k L_{k+1}}}{2L_{k+1}}, \quad A_{k+1} := A_k + \alpha_{k+1},$$

$$y_{k+1} := \frac{\alpha_{k+1} u_k + A_k x_k}{A_{k+1}}.$$

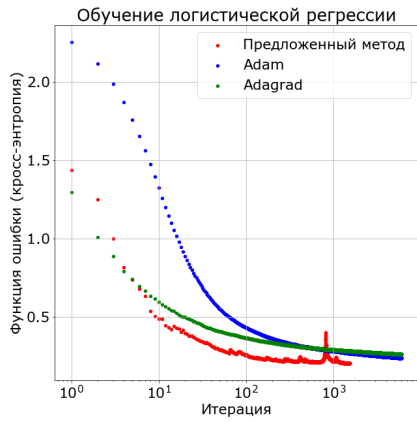
Посчитать  $\tilde{\nabla}^{m_{k+1}} f_\delta(y_{k+1})$  и  $f_\delta^{m_{k+1}}(y_{k+1})$ .

$$\phi_{k+1}(x) \stackrel{\text{def}}{=} V(x, u_k) + \alpha_{k+1} \left( f_\delta^{m_{k+1}}(y_{k+1}) + \langle \tilde{\nabla}^{m_{k+1}} f_\delta(y_{k+1}), x - y_{k+1} \rangle \right)$$

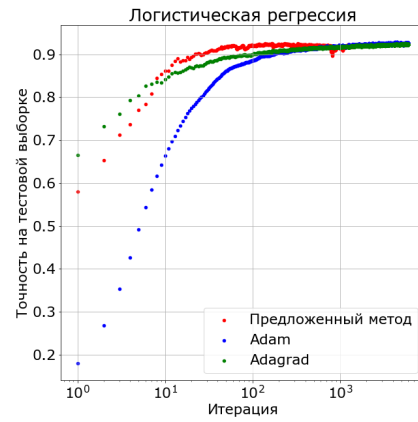
$$u_{k+1} := \arg \min_{x \in Q} \phi_{k+1}(x), \quad x_{k+1} := \frac{\alpha_{k+1} u_{k+1} + A_k x_k}{A_{k+1}}, \quad j_{k+1} := j_{k+1} + 1.$$

Посчитать  $f_\delta^{m_{k+1}}(x_{k+1})$ .

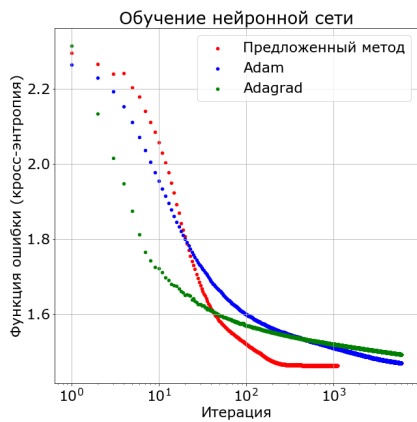
**Конец алгоритма.**



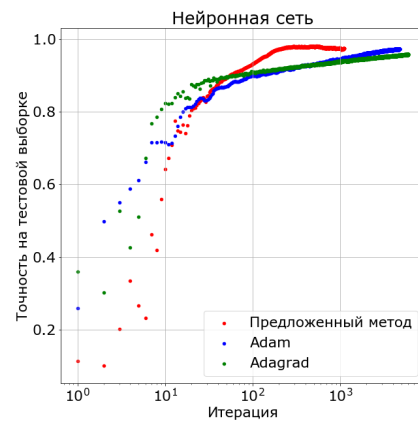
(a) Функция ошибки от итерации



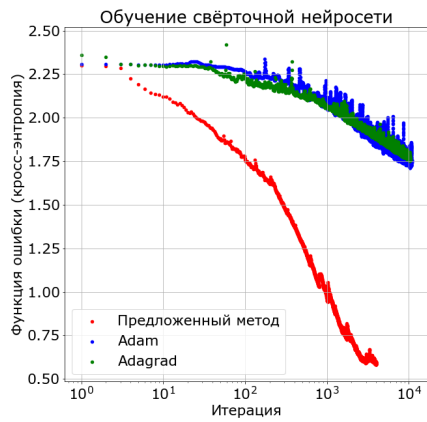
(b) Тестовая точность от итерации



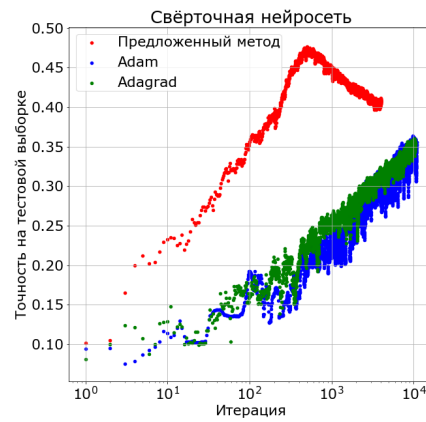
(c) Функция ошибки от итерации



(d) Тестовая точность от итерации



(e) Функция ошибки от итерации



(f) Тестовая точность от итерации

Рис. 1: Численные эксперименты

## Список литературы

- [1] *Нестеров Ю.Е.* Введение в выпуклую оптимизацию. М.: МЦНМО, 2010. 262 с.
- [2] *Goodfellow I., Bengio Y., Courville A.* Deep learning. MIT press. 2016.
- [3] *Krizhevsky A., Sutskever I., Hinton G.* Imagenet classification with deep convolutional neural networks // In Advances in neural information processing systems. 2012. P. 1097–1105.
- [4] *Гасников А.В., Дзуреченский П.Е., Усманова И.Н.* О нетривиальности быстрых (ускоренных) рандомизированных методов // Труды МФТИ. 2016. Т. 8. № 2. С. 67–100.
- [5] *Bach F., Levy K.Y.* A universal algorithm for variational inequalities adaptive to smoothness and noise // COLT, 2019.
- [6] *Vaswani S., Mishkin A., Laradji I., Schmidt M., Gidel G., Lacoste-Julien S.* Painless Stochastic Gradient: interpolation, line-search, and convergence rates // NIPS, 2019.
- [7] *Nocedal J., Wright S.* Numerical optimization. Springer Science & Business Media. 2006.
- [8] *Duchi J., Hazan E., Singer Y.* Adaptive subgradient methods for online learning and stochastic optimization // Journal of Machine Learning Research. 2011. V. 12. № Jul. P. 2121–2159.
- [9] *Kingma D.P., Ba J.* Adam: a method for stochastic optimization // ICLR, 2015.
- [10] *Gupta M. D., Huang T.* Bregman distance to l1 regularized logistic regression // ICPR, 2008.
- [11] *Devolder O., Glineur F., Nesterov Yu.* First-order methods with inexact oracle: the strongly convex case // CORE Discussion Paper 2013/16. 2013. URL: [https://www.uclouvain.be/cps/ucl/doc/core/documents/coredp2013\\_16web.pdf](https://www.uclouvain.be/cps/ucl/doc/core/documents/coredp2013_16web.pdf).
- [12] *Devolder O., Glineur F., Nesterov Yu.* First-order methods of smooth convex optimization with inexact oracle // Math. Program. 2014. V. 146. N 1–2. P. 37–75.
- [13] *Devolder O.* Exactness, inexactness and stochasticity in first-order methods for large-scale convex optimization. PhD thesis. CORE UCL, 2013.
- [14] *Li M., Zhang T., Chen Y., Smola A.J.* Efficient mini-batch training for stochastic optimization // ACM, 2014.
- [15] *Juditsky A., Nemirovski A.* Large deviations of vector-valued martingales in 2-smooth normed spaces // e-print. arXiv:0809.0813. 2008.
- [16] *Gasnikov A., Tyurin A.* Fast gradient descent for convex minimization problems with an oracle producing a  $(\delta, L)$ -model of function at the requested point // Computational Mathematics and Mathematical Physics. 2019. V. 59. № 7. P. 1085–1097.
- [17] *Гасников А.В.* Современные численные методы оптимизации. Метод универсального градиентного спуска // e-print. arXiv:1711.00394. 2018.
- [18] *Robert C., Casella G.* Monte Carlo statistical methods. Springer Science & Business Media. 2013.
- [19] *Lan G., Nemirovski A., Shapiro A.* Validation analysis of mirror descent stochastic approximation method // Math. Program. 2012. V. 134. № 2. P. 425–458.

- [20] *Griewank A.* On automatic differentiation // *Mathematical Programming: recent developments and applications.* 1989. V. 6. № 6. P. 83–107.
- [21] *LeCun Y., Bottou L., Bengio Y., Haffner P.* Gradient-based learning applied to document recognition // *Proceedings of the IEEE.* 1998. V. 86. № 11. P. 2278–2324.
- [22] *Krizhevsky A.* Learning Multiple Layers of Features from Tiny Images. PhD thesis. University of Toronto, 2009.